

## 一般断面の河谷を逆上する津波の計算

東北大学工学部

正員 岩崎 敏夫

東北大学工学部

学生員。宇賀神 義宣

東北大学工学部

学生員 原田 光男

### 1. まえがき

特性曲線法による津波の逆上計算を行なった。まず、一般的放物断面に関する特性曲線式と段波の式を導く。次に、図-3に示されている両石湾を対象とし、断面の諸量を決定したのち、実験と計算を行ない、両者を比較する。

### 2. 基本方程式

一般断面に関する一次元非線型長波の基本式は、海底摩擦を考慮するとき、

$$\frac{\partial u}{\partial t} + u \frac{\partial u}{\partial x} = -g \frac{\partial H}{\partial x} - g i - \frac{g n^2}{R^{2/3}} u |u| \quad (1)$$

$$\text{連続式} \quad \frac{\partial A}{\partial t} + \frac{\partial (A \cdot u)}{\partial x} = 0 \quad (2)$$

となる。ここに  $H$  は  $H = H_0 + \eta$  で、自由表面から水底までの深さであり、 $n$  はマニニングの係数、 $R$  は径深である。

断面積  $A$  と水深  $H$  が、

$$A = k H^m \quad (k \text{ は } x \text{ の関数}, m \text{ は定数}) \quad (3)$$

の関係にある一般の放物断面を考え、(1), (2)の基本式を特性曲線表示すると、

$$\frac{\partial z}{\partial t} = u \pm C \quad \text{上で} \quad \frac{\partial z}{\partial t} (u \pm 2mc) = \mp \frac{\partial H}{\partial x} u C - g i - \frac{g n^2}{R^{2/3}} u |u| \quad (4)$$

となる。ここに、 $C = \sqrt{gH/m}$  — (5) である。

### 3. 段波に関する式

一般断面の段波の式は、図-1-(1), 図-1-(2) のように記号を定める  $H$  とき、次のように与えられている。<sup>1)</sup>

$$\text{連続式} \quad A_1 u_1 - A_2 u_2 = W (A_1 - A_2) \quad (6)$$

$$\begin{aligned} \text{運動量式} \quad & A_2 (W - U_2) (U_1 - U_2) \\ & = g \{ A_2 (H_1 - H_2) + (A_1 - A_2) e \} \end{aligned} \quad (7)$$

ここに、添字 1, 2 は それぞれ段波後面の量および前面の量であることを示す。 $W$  は段波の波速、 $e$  は図-1-(2) に示すように  $(A_1 - A_2)$  部分の図心の水面からの深さである。

次に、(6), (7) 式に放物断面の条件を入れる。断面が(3)式で表わされるとき、(7)式に含まれている  $e$  は、

$$e = H_1 - \frac{m}{m+1} \frac{A_1 H_1 - A_2 H_2}{A_1 - A_2} \quad (8)$$

となる。上式を(7)式に代入すると運動量式は次式となる。

$$A_2 (W - U_2) (U_1 - U_2) = \frac{g}{m+1} (A_1 H_1 - A_2 H_2) \quad (9)$$

次に、式(5), (3) より、

$$H = \frac{m}{g} C^2, \quad A = k H^m = k \left(\frac{m}{g}\right)^m C^{2m}$$

であるから、上式を、式(6)および式(9)に代入すると、放物断面に関する段波の式を、流速  $U$ 、波速  $C$  で表わした式として次式を得る。

$$\text{連続式} \quad C_1^{2m} U_1 - C_2^{2m} U_2 = W (C_1^{2m} - C_2^{2m}) \quad (10)$$

$$\text{運動量式} \quad C_2^{2m} (W - U_2) (U_1 - U_2) = \frac{m}{m+1} (C_1^{2(m+1)} - C_2^{2(m+1)}) \quad (11)$$

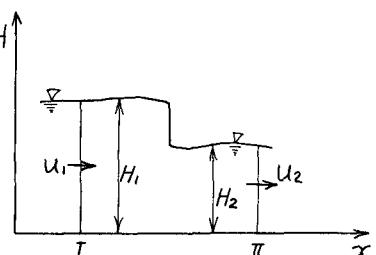


図 1-(1) 段波の記号

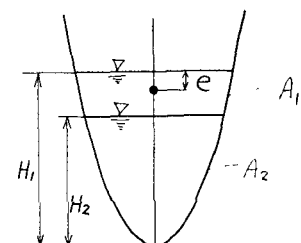


図 1-(2)  $e$

### 3 両石湾模型の形状

対象とした両石湾の模型を図-2に示す。距離軸を 湾口を原点として流路の中心に沿うように定めた。次に、 $x$ 軸に直角に、断面を設け(図2。縦線・斜線)、その形状を測定した。その資料により、 $A = k H^m$  とするときの $k$ 、 $m$ の値を最小二乗法によって求めた。このうち、 $m$ について示したもののが図-3である。基本式の都合上 $m$ は全断面に対しても一定でなければならない。この図により、 $m$ を1.5(二次放物線)とした。次に、 $k = A/H^{1.5}$  によって $k$ の値を求めたものが 図-4である。 $k$ は幅に相当する量であるから、湾奥方向に減少しているが、その変化は一様ではない。この $k$ から  $\frac{1}{k} \frac{dk}{dx}$  を求めたものが、図-5である。 $\frac{1}{k} \frac{dk}{dx}$  の値は、湾奥部で大きく、変動が激しい。次に水深 $H_0$ を示したものが図-6であり、また、この値から勾配を計算したものが図-7である。湾奥部で、勾配にバラツキがあるのと、この部分だけ一様勾配とした。以上、両石湾の模型の形状を測定し、計算に必要な  $m$ 、 $H_0$ 、 $\frac{1}{k} \frac{dk}{dx}$  を決定した。

### 4 実験

実験を行ない、図-1の黒丸点で波高、二重丸点で流速を測定した。湾口で測定する波高と流速は 計算への入力波として用い、他の測定点の波高は計算の結果と比較するために用いる。波は周期16分とし、波高を変えて、数ケースの実験を行なった。

### 5 あとがき

以上、計算に用いる基本式と 対象とする両石湾の地形形状を示した。計算結果と実験との比較は講演時に行ないたい。

### 《参考文献》

1)本間 仁 水理学 P160

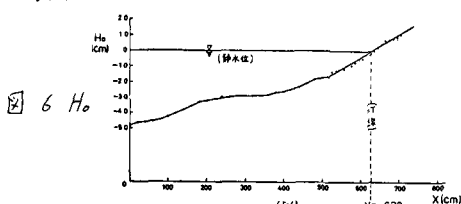


図 6  $H_0$

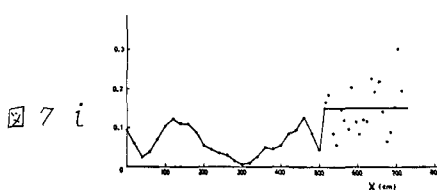


図 7 i

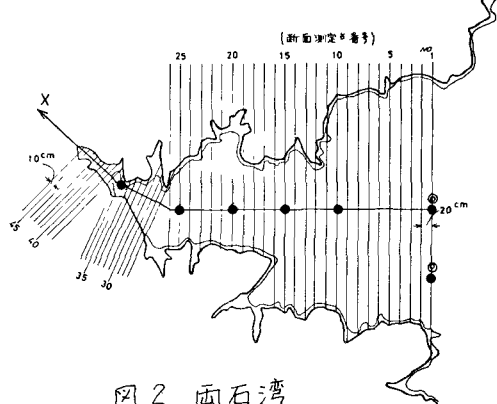


図 2 両石湾

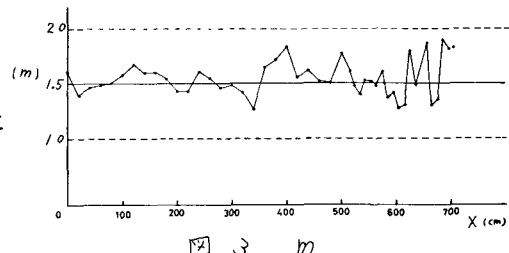


図 3  $m$

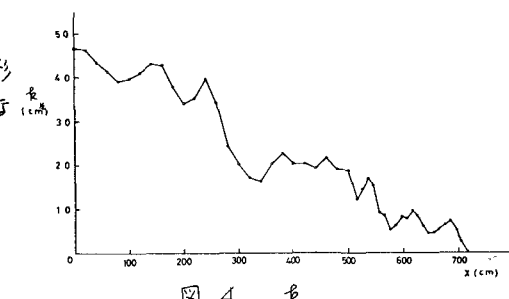


図 4  $k$

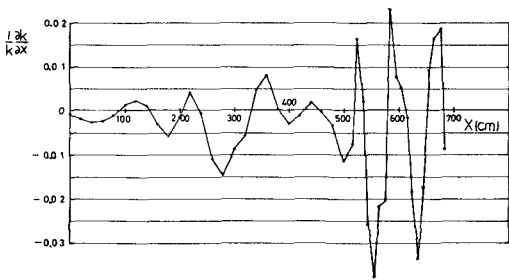


図 5  $\frac{1}{k} \frac{dk}{dx}$